

# ДЕТЕКТИРОВАНИЕ НАМАГНИЧЕННОСТИ ФЕРРОМАГНИТНОЙ ПЛЕНКИ В СТРУКТУРЕ Ni/GaAs ПО ПОЛЯРИЗАЦИИ ЭЛЕКТРОНОВ ПОЛУПРОВОДНИКА

*Р.И.Джиоев, Б.П.Захарчена, П.А.Иванов, В.Л.Коренев*

*Физико-технический институт им.А.Ф.Иоффе*

*194021 Санкт-Петербург, Россия*

Поступила в редакцию 7 октября 1994 г.

Обнаружено влияние ферромагнитной пленки никеля, нанесенной на поверхность  $n$ -GaAs ионным распылением, на поляризацию оптически ориентированных электронов в полупроводнике. Показано, что наличие пленки приводит к возникновению в полупроводнике флюктуирующих в пространстве магнитных полей, обусловленных ее доменной структурой, а также к появлению регулярного магнитного поля, пропорционального магнитному моменту пленки. Обнаружено фотоиндукционное изменение коэрцитивной силы никелевой пленки. Использование полупроводника в качестве детектора намагниченности открывает новую возможность контроля состояния ферромагнитных пленок.

В последнее время значительный интерес вызывают системы ферромагнетик/парамагнитный металл [1, 2]. Наряду с этим были исследованы структуры ферромагнетик/полупроводник [3]. В работе [3] обнаружено влияние полупроводника на магнитные свойства ферромагнитной пленки Fe в системе Fe/GaAs. В то же время, можно ожидать, что ферромагнитная пленка, в свою очередь, будет оказывать влияние на магнитные процессы, происходящие в полупроводнике. Магнитные взаимодействия в полупроводниках широко исследуются с помощью метода оптической ориентации [4].

В настоящей работе показано, что ферромагнитная пленка никеля на поверхности арсенида галлия вызывает дополнительную спиновую релаксацию оптически ориентированных электронов полупроводника. Эта релаксация есть результат прецессии спинов электронов во флюктуирующих в пространстве магнитных полях, обусловленных доменной структурой ферромагнетика. Влияние пленки никеля проявляется в зависимости среднего спина поляризованных электронов, а также кривых магнитной деполяризации фотолюминесценции от намагниченности ферромагнетика. При этом появляется возможность использовать полупроводник в качестве детектора намагниченности ферромагнитных пленок.

В свою очередь, освещение структуры Ni/GaAs светом приводит к радикальному изменению магнитных характеристик ферромагнитной пленки. Показано, что облучение образца лазерным светом интенсивностью  $\approx 5 \text{ Вт}/\text{см}^2$  вызывает более чем трехкратное уменьшение коэрцитивной силы пленки никеля.

Ориентированные по спину вдоль возбуждающего луча электроны создаются в полупроводнике при межзонном поглощении циркулярно поляризованного света. Если за время жизни фотовозбужденные носители не утрачивают полностью спиновую ориентацию, то фотолюминесценция будет частично поляризована по кругу. Степень  $\rho$  круговой поляризации фотолюминесценции в GaAs численно равна проекции среднего спина электронов на направление возбуждающего луча [4].

Представляет интерес использование метода оптической ориентации для изучения структур ферромагнетик/полупроводник. Нами исследовался образец Ni/GaAs. GaAs  $n$ -типа ( $\text{Si}:2 \cdot 10^{15} \text{ см}^{-3}$ ) выращен в направлении [001] методом жидкофазной эпитаксии толщиной 35 мкм на подложке из арсенида галлия толщиной 400 мкм. На поверхности слоя GaAs методом ионного распыления выращена пленка никеля толщиной  $\approx 2000 \text{ \AA}$ .

Эксперимент выполнен при температуре жидкого гелия. Генерация носителей осуществлялась светом, проходящим через никелевую пленку нормально к поверхности образца. В качестве источника возбуждения использовалась линия ( $\lambda = 7525 \text{ \AA}$ ) непрерывного  $\text{Kr}^+$ -лазера. Поляризация краевой люминесценции измерялась в максимуме линии, соответствующей рекомбинации экситона, локализованного на донорной примеси. Описание методики измерения поляризации фотolumинесценции приведено ранее [5]. С целью устранения поляризации спинов ядер полупроводника, влияющей на спин электронов [4], возбуждение осуществлялось светом знакопеременной на высокой частоте (26 кГц) циркулярной поляризации. Для этого был использован фотоупругий модулятор поляризации света [6]. Измерялись зависимости  $\rho$  от внешнего магнитного поля  $H$ , направленного как вдоль луча возбуждающего света (продольное поле  $H_L$ ), так и поперек него (поперечное поле  $H_T$  параллельно плоскости пленки).

На рис.1 приведены результаты измерения деполяризации фотolumинесценции в поперечном магнитном поле (эффект Ханле). Экспериментальные точки, по которым проведена кривая 1, получены после предварительного размагничивания образца Ni/GaAs поперечным магнитным полем. В этом случае  $\rho(H_T)$  симметрична относительно смены знака внешнего магнитного поля. Кривая 2 получена после предварительного намагничивания никеля в плоскости пленки в поле  $H = 350 \text{ Э}$  (Поле  $H_T$  параллельно намагничающему полю  $H$ ). Она не симметрична относительно оси ординат и сдвинута на величину 0,3 Э в направлении намагничающего поля. Асимметрия была определена в результате прецизионных измерений значений  $\rho(+H_T)$  и  $\rho(-H_T)$  при одном знаке намагничающего поля  $H$  (магнитное поле Земли компенсировалось с помощью катушек Гельмгольца с точностью 0,02 Э). В масштабе полей  $H_T$  на рис.1 эта симметрия проявляется слабо и поэтому значения  $\rho(-H_T)$  не приводятся. Направление сдвига кривой меняется с изменением направления намагничающего поля. Значение степени циркулярной поляризации люминесценции в нулевом магнитном поле  $\rho(0) \approx 1,9\%$  в случае намагниченной пленки, а после размагничивания  $\rho(0) \approx 1,5\%$ . Полуширина кривой 2 меньше, чем полуширина кривой 1. Обратим внимание на то, что кривые магнитной деполяризации на рис.1 не зависят от направления прохода магнитного поля  $H_T$ , если диапазон изменения величины этого поля не превышает 30 Э.

Полученные результаты указывают на то, что при размагничивании никеля включается дополнительный канал спиновой релаксации электронов полупроводника, который приводит к уменьшению степени  $\rho$  и уширению кривых магнитной деполяризации. Действительно, фотовозбужденные электроны утрачивают за время их жизни начальную спиновую ориентацию в результате процессов спиновой релаксации. Включение дополнительного канала спиновой релаксации приведет к уменьшению их среднего спина и степени  $\rho$ . В поперечном магнитном поле деполяризация излучения происходит, когда период прецессии спинов в этом поле становится меньше времени исчезновения спина

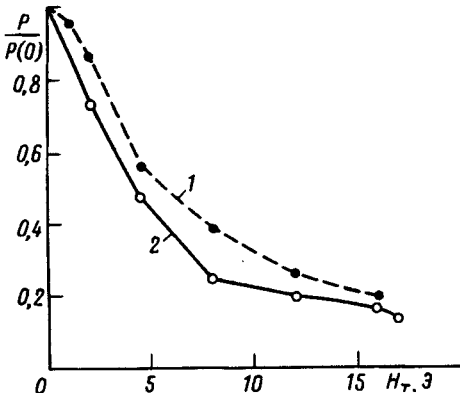


Рис.1

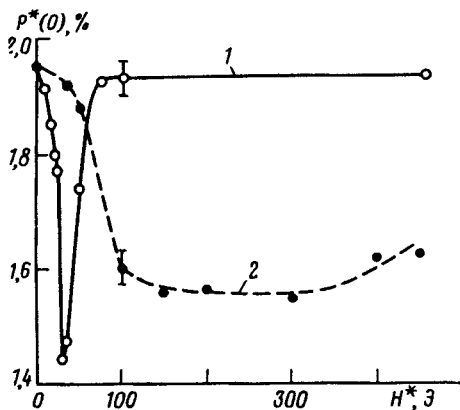


Рис.2

Рис.1. Деполяризация люминесценции в образце Ni/GaAs в поперечном магнитном поле: 1 — после размагничивания образца, 2 — после намагничивания в поле  $H = 350$  Э. Ошибка измерения не превышает размера точек

Рис.2. Зависимость степени  $\rho^*(0)$  циркулярной поляризации люминесценции в нулевом магнитном поле от величины перемагничивающего поля  $H^*$ . Кривая 1: перемагничивание пленки осуществлялось при освещении образца; кривая 2: при перемагничивании пленки никеля возбуждающий свет перекрывался

$T_S$  [4]. Чем короче  $T_S$ , тем в больших полях будет происходить деполяризация излучения, что приведет к уширению зависимости  $\rho(H_T)$ . Подключение дополнительного механизма релаксации спина вызывает укорочение времени  $T_S$  и, следовательно, уширение кривой деполяризации в поперечном магнитном поле. Таким образом, уменьшение  $\rho$  в нулевом магнитном поле и уширение кривой Ханле в случае размагниченного никеля свидетельствуют о включении дополнительного механизма спиновой релаксации.

Мы полагаем, что ответственной за дополнительную деполяризацию электронов в GaAs является прецессия электронного спина во флюктуирующих в пространстве магнитных полях, обусловленных доменной структурой размагниченного никеля. Полностью намагниченная пленка представляет собой один домен, что приводит к исчезновению флюктуирующих в пространстве случайных магнитных полей и подавлению спиновой релаксации. При этом в полупроводнике возникает регулярное магнитное поле  $H_0$ , создаваемое намагниченной пленкой, которое складывается с внешним полем  $H_T$ . Это приводит к направленной прецессии электронного спина и смещению кривой магнитной деполяризации на величину поля  $H_0$ . Оценивая величину регулярного поля  $H_0$  по формуле  $4\pi M d/L$ , где  $M$  — намагниченность насыщения Ni,  $d$  — толщина пленки и  $L = 4$  мм — размер образца, получим  $H_0 = 0,3$  Э. Это согласуется с экспериментально наблюдаемым сдвигом 0,3 Э, о котором говорилось выше.

Дополнительное подтверждение модели флюктуирующих полей дают проведенные нами измерения степени  $\rho$  в продольном магнитном поле. Обнаружено, что при увеличении поля  $H_L$  степень  $\rho$  в исследуемом образце Ni/GaAs растет и выходит на постоянный уровень 2,5% в поле  $H_L \approx 100$  Э. В этом же образце GaAs без никелевой пленки  $\rho = 3\%$  и не зависит от величины  $H_L$  в том же диапазоне полей. Увеличение степени циркулярной поляризации

в продольном магнитном поле изучалось в ряде полупроводников [4]. Было показано, что это увеличение обусловлено подавлением спиновой релаксации электронов в случайных магнитных полях. Количественное описание этого явления существенно зависит от соотношения между характерными размерами доменов ферромагнетика и длиной диффузии электронов в полупроводнике и выходит за рамки данного сообщения.

Приведенные выше результаты однозначно свидетельствуют о влиянии ферромагнитной пленки на оптическую ориентацию электронов в полупроводнике в структуре Ni/GaAs. По поляризации электронов в GaAs можно контролировать состояние ферромагнитной пленки, в частности, перестройку ее доменной структуры при намагничивании и размагничивании ее во внешнем магнитном поле.

Нами обнаружено также фотоиндуцированное изменение коэрцитивной силы ферромагнитной пленки в структуре Ni/GaAs. Освещение образца лазерным светом интенсивностью  $\approx 5 \text{ Вт}/\text{см}^2$  приводит к более чем трехкратному ее уменьшению. Об этом свидетельствуют результаты эксперимента, в котором изучается влияние остаточной намагченности пленки никеля на степень поляризации люминесценции в GaAs. Образец намагничивался во внешнем поле  $H = -350 \text{ Э}$ , направленном параллельно плоскости пленки. Затем намагничающее поле уменьшалось до нуля и устанавливалось поперечное перемагничающее поле  $H^*$  заданной величины, направленное противоположно намагничающему полю. После этого перемагничающее поле тоже выключалось и измерялась степень  $\rho^*(0)$  круговой поляризации люминесценции, соответствующая остаточной намагченности пленки после воздействия на нее внешнего поля  $H^*$ . Далее вышеописанная процедура повторялась для каждого значения поля  $H^*$ . Кривая 1 на рис.2 показывает зависимость  $\rho^*(0)$  от  $H^*$  в случае, когда процесс намагничивания и перемагничивания пленки происходит при освещении образца лазерным лучом. Поток энергии света, падающего на поверхность образца, составляет  $\approx 5 \text{ Вт}/\text{см}^2$ . Площадь светового пятна не превышала  $10^{-3} \text{ см}^2$ . В полях  $H^*$ , таких, что остаточная намагченность никеля велика, спиновая релаксация электронов в GaAs, обусловленная доменной структурой никеля, подавлена и степень  $\rho^*(0)$  максимальна. Когда  $H^* \approx 30 \text{ Э}$ , остаточная намагченность минимальна, скорость спиновой релаксации велика и  $\rho^*(0)$  минимальна. При значениях  $H^* > 30 \text{ Э}$  пленка перемагничивается, что приводит к увеличению  $\rho^*(0)$ . Если перемагничающее поле  $H^*$  имеет то же направление, что и намагничающее поле, то  $\rho^*(0) \approx 1,94 \pm 0,03$  и не зависит от величины поля  $H^*$ . Кривая 2 на рис.2 получена в условиях, когда перемагничивание пленки полем  $H^*$  осуществлялось после выключения возбуждающего света, который затем включался для измерения степени  $\rho^*(0)$  в нулевом внешнем магнитном поле. При этом  $\rho^*(0)$  существенно падает в полях  $H^* \geq 100 \text{ Э}$ . Следовательно, значения  $H^*$ , соответствующие минимальной величине  $\rho^*(0)$  (пленка размагничена), в этих двух случаях (см. кривые 1 и 2) отличаются более чем в три раза. Это говорит о соответствующем уменьшении коэрцитивной силы при освещении образца. Отметим, что при смене знака намагничающего поля и, соответственно, знака поля  $H^*$  обе кривые на рис.2 зеркально отражаются относительно оси ординат.

Такое огромное фотоиндуцированное уменьшение коэрцитивной силы в данном случае трудно объяснить локальным перегревом образца. Действительно, измерения гистерезиса намагничивания, которые проводились с помощью

СКВИДа на аналогичной структуре в темноте, показывают, что коэрцитивная сила уменьшается примерно в три раза при повышении температуры от 4,2 К до 75 К. В то же время нагрев образца, погруженного в жидкий гелий, при оптическом измерении кривой намагниченности не превышает нескольких градусов. Изменение магнитных свойств никеля может быть обусловлено влиянием полупроводника, контактирующего с ферромагнитной пленкой. Для выяснения природы этого эффекта необходимо дополнительное исследование.

Таким образом, в настоящей работе обнаружено существенное влияние напыленной на полупроводник ферромагнитной пленки на оптическую поляризацию электронов в полупроводнике. Наличие ферромагнетика приводит к возникновению дополнительной релаксации электронного спина в полупроводнике, зависящей от намагниченности пленки. Использование полупроводника в качестве детектора намагниченности открывает новую возможность контроля состояния ферромагнитных пленок. В то же время, полупроводник также может влиять на магнитные свойства ферромагнитной пленки, о чем свидетельствует фотоиндукционное изменение коэрцитивной силы никеля в структуре Ni/GaAs.

Авторы глубоко признательны Л.С.Власенко за проведение измерений на СКВИДЕ, И.А.Меркулову, В.И.Перелю и Э.В.Сонину за обсуждения, М.Н.Степановой за предоставление кристаллов GaAs. Работа финансировалась Российским фондом фундаментальных исследований, проект 93-02-2603.

- 
1. S.S.P.Parkin, R.Bhadra, and K.P.Roche, Phys. Rev. Lett. **66**, 2152 (1991).
  2. S.S.P.Parkin, Phys.Rev. Lett. **71**, 1641 (1993).
  3. J.J.Krebs, B.T.Jonker, and G.A.Prinz, J. Appl. Phys. **61**, 2596 (1987).
  4. Оптическая ориентация. Современные проблемы науки о конденсированных средах/ под ред. Б.П.Захарчени и Ф.Майера. Л.: Наука, 1989.
  5. Р.И.Джюев, Б.П.Захарчена, К.В.Кавокин. П.Е.Пак, ФТТ **36**, 2752 (1993).
  6. S.N.Jasperson and S.E.Schnatterly, Rev. Sci. Instrum. **40**, 761 (1969).